

# Modéliser le comportement des systèmes mécaniques dans le but d'établir une loi de comportement ou de déterminer des actions mécaniques en utilisant le PFD

Sciences  
Industrielles de  
l'Ingénieur

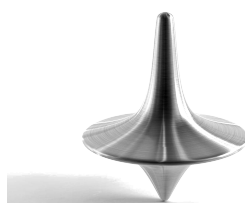
## Cours

### Chapitre 2

### Caractérisation inertielle des solides

#### Savoirs et compétences :

- ☐ Mod2.C13 : centre d'inertie
- ☐ Mod2.C14 : opérateur d'inertie
- ☐ Mod2.C15 : matrice d'inertie



Toupie



Volants d'inertie d'un vilebrequin

<b>1</b>	<b>Masse et centre de masse (centre d'inertie)</b>	<b>2</b>
1.1	Masse d'un solide indéformable . . . . .	2
1.2	Centre d'inertie d'un solide . . . . .	2
1.3	Centre d'inertie d'un ensemble de solides encastrés entre eux . . . . .	2
1.4	Méthode pour déterminer le centre d'inertie d'un solide (2) 3	
<b>2</b>	<b>Matrice d'inertie d'un solide</b>	<b>3</b>
2.1	Opérateur et matrice d'inertie . . . . .	3
2.2	Déplacement d'une matrice d'inertie . . . . .	4
2.3	Détermination de la matrice d'inertie d'un solide (2) . . .	5
2.4	Matrice d'inertie de solides usuels (3) . . . . .	5

## 1 Masse et centre de masse (centre d'inertie)

### 1.1 Masse d'un solide indéformable

**Définition** On peut définir la masse totale d'un solide  $S$  par :  $M = \int_{P \in S} dm$ . Si de plus l'ensemble est fait d'un matériau homogène de masse volumique  $\mu$ , on a  $M = \mu \int_{P \in S} dV$ .

### 1.2 Centre d'inertie d'un solide

**Définition** La position du centre d'inertie  $G$  d'un solide  $S$  est définie par  $\int_{P \in S} \vec{GP} dm = \vec{0}$ .

Pour déterminer la position du centre d'inertie d'un solide  $S$ , on passe généralement par l'origine du repère associé à  $S$ . On a alors  $\int_{P \in S} \vec{GP} dm = \int_{P \in S} (\vec{GO} + \vec{OP}) dm = \vec{0} \Leftrightarrow \int_{P \in S} \vec{OG} dm = \int_{P \in S} \vec{OP} dm \Leftrightarrow M\vec{OG} = \int_{P \in S} \vec{OP} dm$ .

**Méthode** Pour déterminer les coordonnées  $(x_G, y_G, z_G)$  du centre d'inertie  $G$  du solide  $S$  dans la base  $(O; \vec{x}, \vec{y}, \vec{z})$ , on a donc :

$$\begin{cases} Mx_G = \mu \int_{P \in S} x_P dV \\ My_G = \mu \int_{P \in S} y_P dV \\ Mz_G = \mu \int_{P \in S} z_P dV \end{cases} \quad \text{avec } dV \text{ volume élémentaire du solide } S.$$

Pour simplifier les calculs, on peut noter que le centre d'inertie appartient au(x) éventuel(s) plan(s) de symétrie du solide.



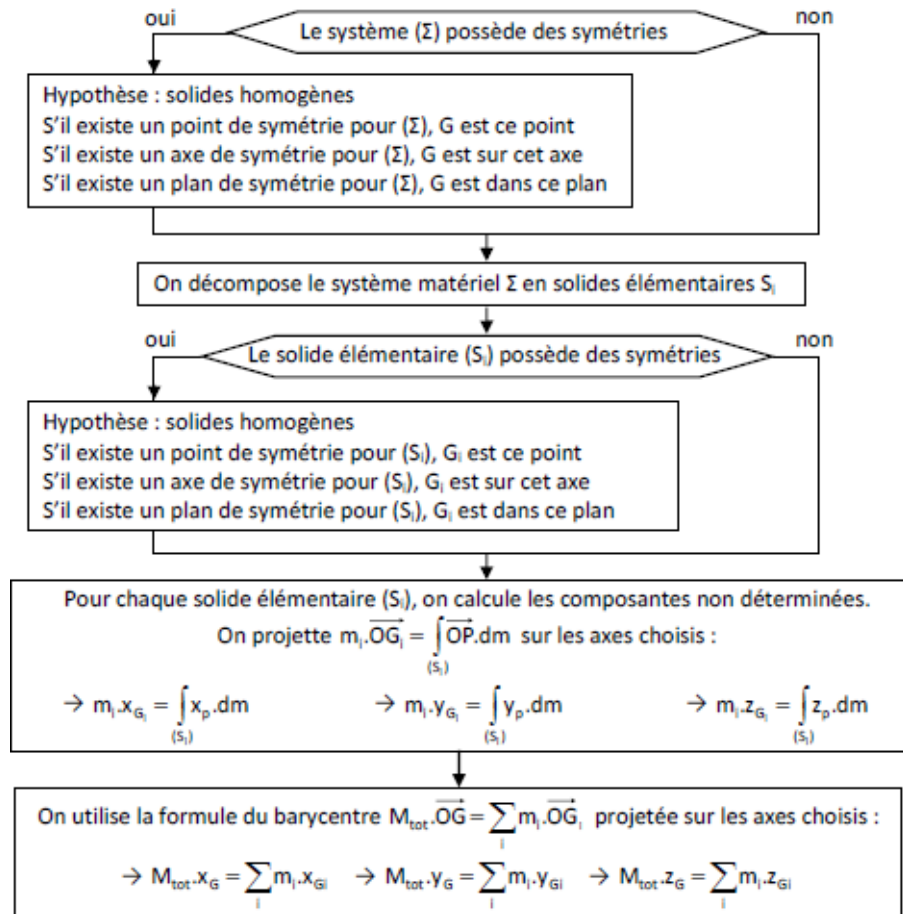
Centre d'inertie et centre de gravité sont confondus lorsque le champ de pesanteur est considéré comme uniforme en tout point de l'espace.

### 1.3 Centre d'inertie d'un ensemble de solides encastrés entre eux

**Méthode** Soit un solide composé de  $n$  solides élémentaires dont la position des centres d'inertie  $G_i$  et les masses  $M_i$  sont connues. On note  $M = \sum_{i=1}^n M_i$ . La position du centre d'inertie  $G$  de l'ensemble  $S$  est donné par :

$$\vec{OG} = \frac{1}{M} \sum_{i=1}^n M_i \vec{OG}_i.$$

## 1.4 Méthode pour déterminer le centre d'inertie d'un solide (2)



## 2 Matrice d'inertie d'un solide

### 2.1 Opérateur et matrice d'inertie

**Définition** Soient :

- un solide  $S$  de masse  $m$  en mouvement par rapport à un repère  $\mathcal{R}_0 = (O_0; \vec{x}_0, \vec{y}_0, \vec{z}_0)$  ;
- $\mathcal{R}_S = (O; \vec{x}, \vec{y}, \vec{z})$  le repère lié au solide  $S$  ;
- $P$  un point de  $S$  tel que  $\vec{OP} = x_p \vec{x} + y_p \vec{y} + z_p \vec{z}$  ;
- $\vec{u}$  un vecteur unitaire du solide  $S$ .

On appelle opérateur d'inertie l'application linéaire définie par :

$$\vec{u} \rightarrow \overline{J_{(O,S)}(\vec{u})} = \int_S \vec{OP} \wedge (\vec{u} \wedge \vec{OP}) dm$$

On appelle matrice d'inertie du solide  $S$  en  $O$ ,  $I_O(S)$ , l'image de cette application linéaire :  $\overline{J_{(O,S)}(\vec{u})} = I_O(S) \vec{u}$ .

**Définition — Matrice d'inertie.** La matrice d'inertie s'écrit ainsi :

$$I_O(S) = \begin{pmatrix} \int_S (y_p^2 + z_p^2) dm & -\int_S (x_p y_p) dm & -\int_S (x_p z_p) dm \\ -\int_S (x_p y_p) dm & \int_S (x_p^2 + z_p^2) dm & -\int_S (y_p z_p) dm \\ -\int_S (x_p z_p) dm & -\int_S (y_p z_p) dm & \int_S (x_p^2 + y_p^2) dm \end{pmatrix}_{\mathcal{R}_S} = \begin{pmatrix} A & -F & -E \\ -F & B & -D \\ -E & -D & C \end{pmatrix}_{\mathcal{R}_S}$$

On appelle moments d'inertie par rapport aux axes  $(O, \vec{x})$ ,  $(O, \vec{y})$  et  $(O, \vec{z})$  les termes  $A$ ,  $B$  et  $C$ .

On appelle produit d'inerties par rapport aux axes  $(O, \vec{y})$  et  $(O, \vec{z})$ ,  $(O, \vec{z})$  et  $(O, \vec{x})$ ,  $(O, \vec{x})$  et  $(O, \vec{y})$  les termes  $D$ ,  $E$  et  $F$ .

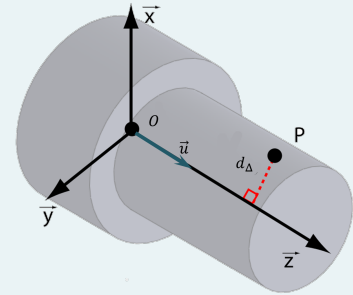
### Propriété

- La matrice d'inertie est une matrice symétrique. Il existe une base dans laquelle elle est diagonalisable. Cette base est appelée base principale d'inertie.
- Si  $(O, \vec{x}, \vec{y})$  est un plan de symétrie du solide,  $D$  et  $E$  sont nuls.
- Si  $(O, \vec{z}, \vec{x})$  est un plan de symétrie du solide,  $D$  et  $F$  sont nuls.
- Si  $(O, \vec{y}, \vec{z})$  est un plan de symétrie du solide,  $E$  et  $F$  sont nuls.
- Si un solide admet 2 plans de symétrie, alors  $D$ ,  $E$  et  $F$  sont nuls.

### Définition — Moment d'inertie par rapport à un axe quelconque.

Le moment d'inertie caractérise la répartition de masse d'un solide autour d'un axe  $\Delta (O, \vec{u})$ . Plus la valeur de l'inertie est grande plus il sera difficile de mettre en mouvement de rotation ce solide autour de l'axe  $\Delta$ . On note  $I_{\Delta}(S)$ , le moment d'inertie du solide  $S$  autour de l'axe  $\Delta$ . Son unité est en  $\text{kg.m}^2$ . On a alors :

$$I_{\Delta}(S) = \int_S d_{\Delta}^2 dm \quad \text{où } d_{\Delta} \text{ est la distance entre le point courant } P \text{ et l'axe } \Delta.$$



**R** Si on connaît  $I_O(S)$ , alors  $I_{\Delta}(S) = \vec{u} I_O(S) \vec{u}$  avec  $\vec{u}$  vecteur unitaire.

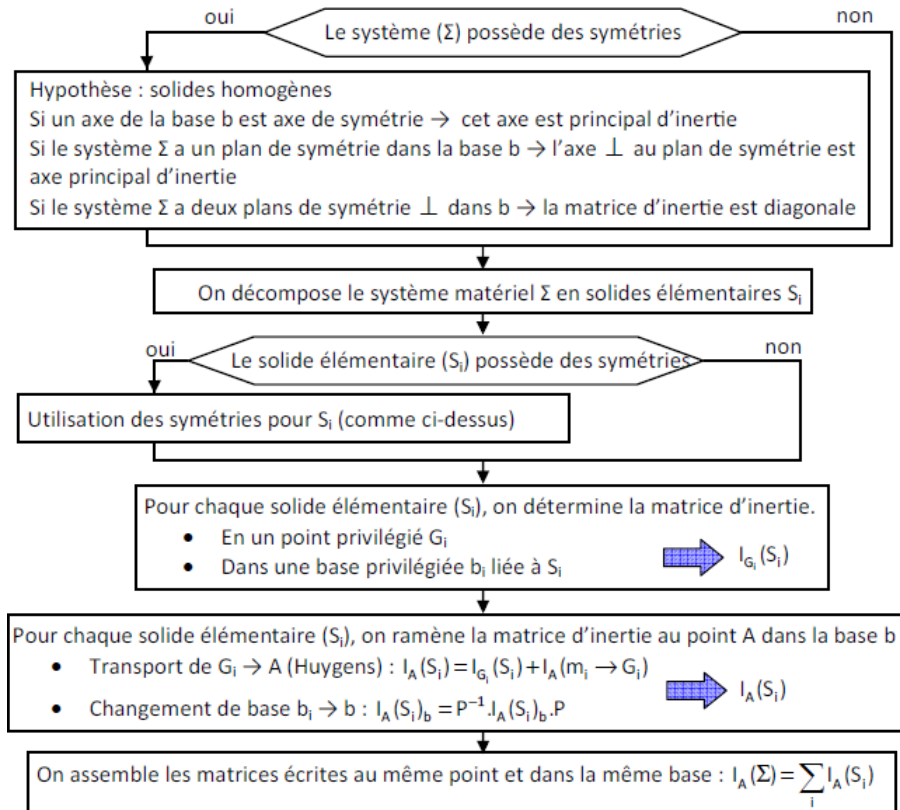
## 2.2 Déplacement d'une matrice d'inertie – Théorème de Huygens

**Théorème — Théorème de Huygens.** Soit  $S$  un solide de centre d'inertie  $G$ , de masse  $m$ , d'inertie  $I_G(S)$  et d'inertie  $I_O(S)$  avec  $\vec{OG} = a \vec{x} + b \vec{y} + c \vec{z}$ . Les matrices  $I_G(S)$  et  $I_O(S)$  exprimées dans la base  $\mathcal{B} = (\vec{x}, \vec{y}, \vec{z})$  sont liées par :

$$\begin{pmatrix} A_O & -F_O & -E_O \\ -F_O & B_O & -D_O \\ -E_O & -D_O & C_O \end{pmatrix}_{\mathcal{B}} = \begin{pmatrix} A_G & -F_G & -E_G \\ -F_G & B_G & -D_G \\ -E_G & -D_G & C_G \end{pmatrix}_{\mathcal{B}} + \begin{pmatrix} m(b^2 + c^2) & -mab & -mac \\ -mab & m(a^2 + c^2) & -mbc \\ -mac & -mbc & m(a^2 + b^2) \end{pmatrix}_{\mathcal{B}}.$$

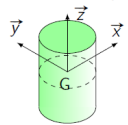
Si le solide est modélisé par une masse ponctuelle  $m$  en  $G$  et si on souhaite connaître le moment d'inertie pour un point situé à une distance  $d$  de  $G$ , on a  $I = m d^2$ .

## 2.3 Détermination de la matrice d'inertie d'un solide (2)



## 2.4 Matrice d'inertie de solides usuels (3)

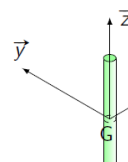
Cylindre d'axe (G,  $\vec{z}$ ) de rayon R et de hauteur H



$$\begin{pmatrix} m \cdot \left( \frac{R^2}{4} + \frac{H^2}{12} \right) & 0 & 0 \\ 0 & m \cdot \left( \frac{R^2}{4} + \frac{H^2}{12} \right) & 0 \\ 0 & 0 & m \cdot \frac{R^2}{2} \end{pmatrix}_{(\vec{r}, \vec{r}, \vec{z})}$$

en G dans toute base contenant  $\vec{z}$

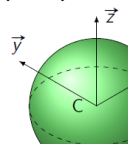
Tige cylindrique (G,  $\vec{z}$ ) de rayon négligeable



$$\begin{pmatrix} m \cdot \frac{H^2}{12} & 0 & 0 \\ 0 & m \cdot \frac{H^2}{12} & 0 \\ 0 & 0 & 0 \end{pmatrix}_{(\vec{r}, \vec{r}, \vec{z})}$$

en G dans toute base contenant  $\vec{z}$

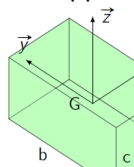
Sphère pleine de centre C



$$\begin{pmatrix} \frac{2}{5} m \cdot R^2 & 0 & 0 \\ 0 & \frac{2}{5} m \cdot R^2 & 0 \\ 0 & 0 & \frac{2}{5} m \cdot R^2 \end{pmatrix}_{\zeta_B}$$

En C centre de la sphère et dans toute base

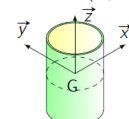
Parallélépipède de cotés a, b et c



$$\begin{pmatrix} m \cdot \frac{b^2 + c^2}{12} & 0 & 0 \\ 0 & m \cdot \frac{a^2 + c^2}{12} & 0 \\ 0 & 0 & m \cdot \frac{a^2 + b^2}{12} \end{pmatrix}_{\zeta_B}$$

en G dans la base B parallèle aux arêtes du parallélépipède

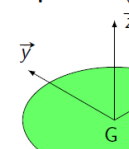
Tube d'axe (G,  $\vec{z}$ ) de rayon R et de hauteur H (épaisseur négligeable)



$$\begin{pmatrix} m \cdot \left( \frac{R^2}{2} + \frac{H^2}{12} \right) & 0 & 0 \\ 0 & m \cdot \left( \frac{R^2}{2} + \frac{H^2}{12} \right) & 0 \\ 0 & 0 & m \cdot R^2 \end{pmatrix}_{(\vec{r}, \vec{r}, \vec{z})}$$

en G dans toute base contenant  $\vec{z}$

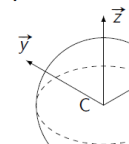
Disque d'axe (G,  $\vec{z}$ ) d'épaisseur négligeable



$$\begin{pmatrix} m \cdot \frac{R^2}{4} & 0 & 0 \\ 0 & m \cdot \frac{R^2}{4} & 0 \\ 0 & 0 & m \cdot \frac{R^2}{2} \end{pmatrix}_{(\vec{r}, \vec{r}, \vec{z})}$$

en G dans toute base contenant  $\vec{z}$

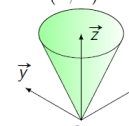
Sphère creuse de centre C



$$\begin{pmatrix} \frac{2}{3} m \cdot R^2 & 0 & 0 \\ 0 & \frac{2}{3} m \cdot R^2 & 0 \\ 0 & 0 & \frac{2}{3} m \cdot R^2 \end{pmatrix}_{\zeta_B}$$

En C centre de la sphère et dans toute base

Cône (S,  $\vec{z}$ ) de rayon R et de hauteur H



$$\begin{pmatrix} \frac{3 \cdot m}{5} \cdot \left( \frac{R^2}{4} + H^2 \right) & 0 & 0 \\ 0 & \frac{3 \cdot m}{5} \cdot \left( \frac{R^2}{4} + H^2 \right) & 0 \\ 0 & 0 & \frac{3 \cdot m}{5} \cdot \frac{R^2}{2} \end{pmatrix}_{(\vec{r}, \vec{r}, \vec{z})}$$

au sommet S dans toute base contenant  $\vec{z}$

## Références

[1] Emilien Durif, *Introduction à la dynamique des solides*, Lycée La Martinière Monplaisir, Lyon.

- [2] Florestan Mathurin, *Géométrie des masses*, Lycée Bellevue, Toulouse, <http://florestan.mathurin.free.fr/>.
- [3] Robert Papanicola, *Opérateurs d'inertie*, Lycée Charlemagne, Paris, <http://sciences-indus-cpge.papanicola.info/>.